

## بررسی فرآیند انتقال حرارت دو بعدی در چوب راش (*Fagus orientalis*) و صنوبر (*Populus deltoides*) با استفاده از مدل سازی ریاضی

امیرهومن حمصی<sup>۱</sup>، مهدی ملکانی<sup>۱\*</sup> و تقی طبرسا<sup>۲</sup>

۱) دانشگاه آزاد اسلامی، واحد علوم و تحقیقات، گروه صنایع چوب و کاغذ، تهران، ایران. \* رایانامه نویسنده مسئول: mehdi\_malakani@yahoo.com  
۲) گروه صنایع چوب و کاغذ، دانشکده منابع طبیعی، دانشگاه علوم کشاورزی و منابع طبیعی گرگان، گرگان، ایران.

تاریخ دریافت: ۹۰/۰۵/۳۰ تاریخ پذیرش: ۹۱/۰۲/۱۵

### چکیده

این پژوهش به منظور مدل سازی دو بعدی ریاضی انتقال حرارت در عمق ها و دانسیته های مختلف چوب در حین حرارت دهی با استفاده از معادلات دیفرانسیل پاره ای و مقایسه آن با اندازه گیری آزمایشگاهی طراحی گردیده است. برای ارزیابی اثر دانسیته چوب بر انتقال حرارت از گونه های راش (*Fagus orientalis*) و صنوبر (*Populus deltoides*) با دانسیته ۰/۶۷ و ۰/۴۳ گرم بر سانتی متر و رطوبت ۱۲ درصد استفاده شده است. گره هایی به عمق ۵ میلی متر در فواصل معین تخته ها برای اندازه گیری دما با ترموموکول ایجاد شد. نتایج نشان داد که مطابقت خوبی بین نمودارهای حاصل از پیش بینی های مدل ریاضی و نمودارهای حاصل از اندازه گیری مستقیم درجه حرارت در گره های مختلف شبکه وجود دارد. تلفات حرارتی لبه های قطعه چوبی تحت تاثیر شرایط محیطی نیز توسط مدل شناسایی گردید. اگرچه هنوز برای افزایش مدل اصلاحاتی در آن ایجاد گردد، مدل طراحی شده در این مرحله از توانایی خوبی برای پیشگویی درجه حرارت در عمق های مختلف چوب برخوردار خواهد بود. با افزایش دقت مدل در کاربردهایی مثل چوب خشک کنی و تیمارهای حرارتی اصلاحی چوب می توان از مدل اصلاح شده استفاده نمود.

واژه های کلیدی: مدل ریاضی، معادلات دیفرانسیل، انتقال حرارت، چوب راش، چوب صنوبر.

### مقدمه

بررسی عوامل اثرگذار بر انتقال حرارت همانند رطوبت و دانسیته چوب طی خشک شدن آن از اهمیت به سزایی در مدل سازی روند انتقال حرارت در چوب برخوردار است (امام، ۱۳۷۶) به طوری که شناخت ساز و کارهای انتقال حرارت در چوب علاوه بر صرفه جویی در مصرف انرژی به سهولت دفع رطوبت از چوب نیز کمک می نماید (Bazant, 1985). همچنین با توجه به ارتباط تنگاتنگ بین فاکتورهایی

انتقال حرارت در چوب مشخص کننده قدرت رسانایی و انتقال انرژی حرارتی این جسم می باشد که در عین حال درجه عایق بودن و مقاومت آن را در برابر حرارت بیان می کند. این خاصیت فیزیکی چوب وابستگی شدیدی به ساختمان، رطوبت، مواد استخراجی و وزن مخصوص گونه چوبی دارد به طوری که هدایت حرارتی آن با کاهش میزان دانسیته و رطوبت چوب کاهش می یابد (ابراهیمی، ۱۳۷۵).

خردچوب یا تخته فیبر از فضایی عبور می‌نماید که ممکن است هوا، آب یا بخار باشد. این تغییر فازها سناریوی جدیدی در انتقال حرارت ایجاد می‌کند.

همچنین در تیمارهای اصلاحی حرارتی چوب دانستن روابط انتقال حرارت چوب مورد نظر و فاکتورهای اثرگذار بر آن از جمله دانسته چوب منجر به بهبود کیفیت روند اصلاح چوب با کاهش هزینه‌های عملیاتی می‌گردد (امام، ۱۳۷۶). اطلاعات دقیق از نحوه انتقال حرارت در خشک کردن چوب راهنمای بسیار خوبی در تنظیم حرارت خشککن و زمان خشک شدن چوب خواهد بود. در زمان کوتاه‌تر به معنی صرف هزینه و انرژی کمتر همراه با با کمترین خسارت به چوب مورد نظر خواهد بود.

مدل‌سازی یکی از علوم توسعه یافته در دنیای امروزی است که ابزاری پیشرفته برای تحلیل و درک دنیای پیرامون و روشی سریع و کم‌هزینه برای درک اثر سیستم‌های مختلف می‌باشد (Gu & Hunt, 2004). هدف از این تحقیق بررسی و مطالعه فرآیند انتقال حرارت دو بعدی در دو گونه چوب راش و صنوبر با دانسته‌های ۰/۶۷ و ۰/۴۳ گرم بر سانتی مترکعب به کمک مدل‌سازی ریاضی ساختمان چوب در یک شبکه ماتریسی و مقایسه این نتایج با اندازه‌گیری مستقیم درجه حرارت در گره‌های مختلف شبکه می‌باشد. در تحقیقات گذشته غالب فرآیند انتقال حرارت فقط در ضخامت چوب و به صورت تجربی اندازه‌گیری شده است، ولی در تحقیق حاضر علاوه بر ضخامت، اندازه‌گیری انتقال حرارت در پهنانی تخته به صورت مستقیم و پیش‌بینی آن با استفاده از مدل ریاضی بررسی شد. همچنین الگوی انتقال حرارت در گونه راش با دانسته نیمه‌سنگین و گونه صنوبر با دانسته سبک به طور همزمان مطالعه شد تا دقیق‌تر به تفاوت‌های موجود در روند انتقال حرارت گونه‌هایی با دانسته متفاوت پی برد شود.

مانند رطوبت، حرارت و دانسته در چوب می‌توان فرآیند انتقال حرارت را در چوب پیش‌بینی کرد (Gu & Hunt, 2004).

با توجه به اینکه چوب از فازهای مایع، گاز (هوا) و جامد تشکیل شده، فرآیند انتقال حرارت در آن پیچیده است. به عبارت دیگر در چوب مرطوب طی فرآیند خشک شدن ترکیبی از دو فرآیند انتقال حرارت به روش جابجایی و هدایت رخ می‌دهد (طارمیان و سپهر، ۱۳۸۹). شناخت جامع پروسه انتقال حرارت در چوب و فراورده‌های چوبی با توجه به ساختمان ناهمگن آن دارای اهمیت فراوانی است که در کاربردهایی نظیر افزایش سرعت خشک نمودن و رسیدن به رطوبت یکنواخت، پیش‌بینی زمان مناسب جهت نرم شدن بافت چوب و پخت گرده‌بینه در فرآیند روکش‌گیری و نیز تولید اوراق فشرده چوبی با استفاده از پرس گرم کاربرد دارد (Kehr & Scholzel, 1996). عدم حرارت کافی در روند تولید اوراق فشرده چوبی با کمک رزین‌های گرم‌اسخت منجر به عدم اتصال مناسب شده و تخته‌های حاصل جزء تخته‌های ضایعاتی قرار می‌گیرند. بدین ترتیب هزینه‌های تولید افزایش یافته و مواد اولیه چوبی با بهره‌وری پایین از دسترس خارج می‌گردد.

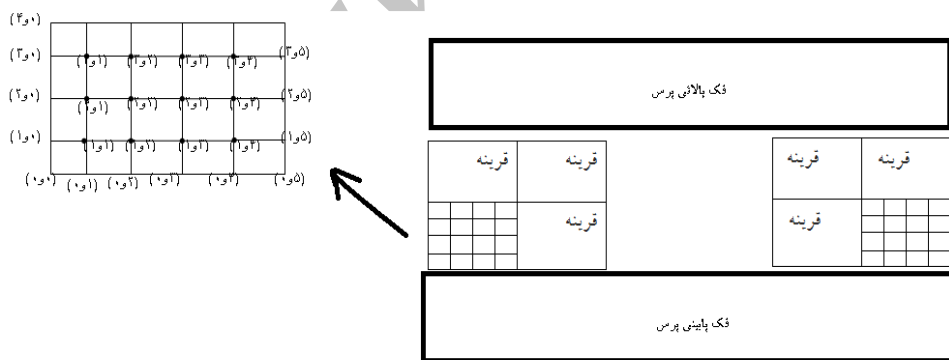
نوربخش و کارگرفت (۱۳۸۵) در تحقیقات خود نشان دادند که با افزایش دانسته تخته خردکوب فشرده‌گی و تماس بین خردکوب‌ها ببستر شده و اتصالات قوی‌تری ایجاد می‌گردد. بنابراین بدون نیاز به مصرف چسب بیشتر عملکرد بهتری در تخته خردکوب تولیدی ایجاد خواهد شد. لازم به یادآوری است که مسئله انتقال حرارت در چوب ماسیو و فرآورده‌های مرکب چندسازه یا اوراق فشرده چوبی متفاوت می‌باشد زیرا حرارت در چوب ماسیو از سطح چوب مستقیماً وارد چوب می‌گردد اما حرارت در ساخت اوراق فشرده چوبی نظیر تخته لایه، تخته

روی نی مرخ عمود بر صفحات پرس و عمود بر الیاف به فاصله‌های ۵، ۱۰، ۱۵ و ۲۰ میلی‌متر از منبع حرارت (صفحه گرم پرس) در فاصله زمانی حرارت‌دهی ۳۰ دقیقه انجام شد. چهار نیمرخ از مغز قطعه چوب در فاصله‌های ۱۰، ۱۵ و ۲۰ میلی‌متر از سطح صفحه پرس به منظور لحاظ کردن اثر حرارت محیط در هر قطعه چوبی تعیین گردید. در این آزمایش از روش انتقال حرارت یک طرفه استفاده شد. بدین منظور صفحه پرس پائینی با گرمای ۹۰ درجه سانتی‌گراد گرم پائینی پرس به سمت صفحه سرد بالایی صورت گرفت. نیمرخ‌ها از مغز تخته در راستای قائم به طرف لبه‌ها انتخاب شدند تا اثر احتمالی حرارت محیط نیز منظور گردد.

## مواد و روش‌ها

بلوک‌هایی از گونه راش ایرانی (*Fagus*) (Orientalis) با دانسیته نیمه‌سنگین و صنوبر (*Populus deltoides*) با دانسیته سبک با ابعاد پهناهی ۴۰ میلی‌متر، ضخامت ۴۰ میلی‌متر و طول ۴۰۰ میلی‌متر برای این مطالعه انتخاب شدند. درختان راش مورد نظر از طرح جنگل‌داری وطنابندگر و از سری دو دانه‌زاد عقرب چشمۀ آن تهیه و درختان صنوبر از جنگل‌های شصت کلاته گرگان قطع گردیدند. با توجه به تقاضت چوب برون و چوب درون همه نمونه‌های مذکور از ناحیه چوب برون تهیه شدند و پس از برش نمونه‌ها جرم ویژه آنها اندازه‌گیری شد.

قطع نمونه به شبکه از مربعات کوچک به ابعاد ۵×۵ میلی‌متر تبدیل گردید. اندازه‌گیری‌های آزمایشگاهی با توجه به قرینه بودن مربعات در چهار گوش فقط در یک گوشه انجام گرفت (شکل ۱). مدل‌ها و آزمایش‌ها به منظور لحاظ کردن زمان حرارت‌دهی و فاصله از منبع حرارتی در چهار نقطه



شکل ۱. سطح مقطع نمونه و ایجادگرهایی به فاصله ۵ میلی‌متر در یک چهارم از ضخامت نمونه‌های چوبی راش و صنوبر (اعداد روی شکل نشان‌دهنده سطر و ستون شبکه ماتریسی می‌باشند که توسط آن روند انتقال حرارت به صورت تجربی و مدل ریاضی مورد بررسی قرار گرفت).

محل گره‌ها برای اندازه‌گیری مستقیم درجه حرارت در بلوک‌های چوبی با مته تا عمق ۵ میلی‌متر سوراخ گردید تا سوزن ترموموکوپل در آن جای گیرد. اندازه‌گیری‌ها با توجه به محلودیت خروجی‌های

$$f''(x) \approx \frac{1}{h^2} [f(x+h) - 2f(x) + f(x-h)] \quad \text{رابطه (۳)}$$

با بکار بردن فرمول ۳ برای توابع دو متغیره U (X,Y) برای صفحه ۵ نقطه‌ای (شکل ۲) به رابطه ۴ می‌رسیم:

$$\nabla^2 u \approx \frac{1}{h^2} [u(x+h,y) + u(x-h,y) + u(x,y+h) + u(x,y-h) - 4u(x,y)] \quad \text{رابطه (۴)}$$

خطای محلی که بر اثر این فرمول در هر نقطه به جا می‌ماند در روابط ۵ و ۶ نشان داده شده است:

$$-\frac{h^2}{12} \left[ \frac{\partial^2 u}{\partial x^4} (\xi, \eta) + \frac{\partial^2 u}{\partial^2 y} (x, \eta) \right] \quad \text{رابطه (۵)}$$

$$\frac{\partial T}{\partial t} \Big|_{i,n} = \alpha \frac{\partial^2 T}{\partial x^2} \quad \text{رابطه (۶)}$$

که  $\alpha$  در آن برابر ضریب پخش حرارت، = برابر ضریب هدایت حرارتی چوب،  $C_{\alpha} = \frac{k}{c.d}$  برابر گرمای ویژ چوب با فرمول  $c_e = \frac{0.324+u}{1+u}$  برابر دانسته چوب با فرمول  $d = 0.022$  و  $u = 0.168$  برابر درصد رطوبت چوب بود. شکل مربعی مورد تحقیق در رابطه ۶ به صورت شکل ۳ شبکه‌بندی می‌شود. به این ترتیب رابطه ۶ با فرض تعريف  $\Delta T$  به عنوان زمان حرارت دهنی بر تعداد تقسیمات شبکه و  $\Delta X$  به عنوان ضخامت به سانتی‌متر برای گره (i,j) به رابطه ۷ تبدیل گردید (شکل ۳). در این معادلات  $j, i$  به ترتیب سطر و ستون‌های شبکه ماتریسی می‌باشند.

$$\begin{aligned} \frac{T_{i-1,j} - T_{i,j}}{\Delta t} &= \alpha \frac{T_{i,j-1} - 2T_{i,j} + T_{i,j+1}}{\Delta x^2} \\ T_{i-1,j} - T_{i,j} &= \frac{\alpha \Delta t}{\Delta x^2} (T_{i,j-1} - 2T_{i,j} + T_{i,j+1}) \\ T_{i-1,j} - T_{i,j} &= \lambda (T_{i,j-1} - 2T_{i,j} + T_{i,j+1}) \end{aligned} \quad \text{رابطه (۷)}$$

رابطه فوق با فرض  $\frac{\alpha \Delta t}{\Delta x^2} = \lambda$  به رابطه ۸ تغییر یافته و سپس معادلات فوق را به یک ماتریس  $16 \times 16$  تبدیل شد (شکل ۳).

$$\lambda T_{i,j+1} + (1-2\lambda)T_{i,j} + \lambda T_{i,j-1} = T_{i-1,j} \quad \text{رابطه (۸)}$$

دماهی چوب بعد از ۳۰ دقیقه حرارت دهنی در نقاط مختلف شبکه ماتریسی در دو بعد پهنا و ضخامت اندازه‌گیری شده و برای هر آزمایش ۵ تخته (۵ تکرار) استفاده گردید. اطلاعات جمع آوری شده به صورت نمودار ترسیم گردید و تایید نهایی مدل به وسیله مقایسه پروفیل‌های دماهی پیش‌بینی شده توسط مدل با مقادیر اندازه‌گیری شده توسط ترموموکوپل مورد مقایسه و ارزیابی قرار گرفت.

بسیاری از پدیده‌های فیزیکی به وسیله معادلات دیفرانسیل پاره‌ای مدل‌سازی می‌گردند. توسعه مدل ریاضی برای توصیف الگوی انتقال حرارت در یک ماده جامد می‌تواند با استفاده از معادلات دیفرانسیل مدل‌سازی گردد. مراحل اصلی مدل‌سازی در این روش عبارتند از مشیندی و تقسیم سیستم مورد نظر (جسم مورد نظر) به گره‌های متعدد که این کار با تقسیم جسم مورد نظر به چند ناحیه کوچک‌تر و تعیین یک نقطه به عنوان مبنای اندازه‌گیری پارامتر مورد بررسی در هر ناحیه صورت می‌گیرد. نقطه مرجع را معمولاً گره و مجموعه نقاط را شبکه گره می‌نامند. یکی از معادلات دیفرانسیل مهم که پدیده فیزیکی هدایت حرارتی توسط آن مدل‌سازی می‌شود معادله بیضیگون لابلس (رابطه ۱) و پواسون (رابطه ۲) هستند که شباهت بسیاری به یکدیگر دارند:

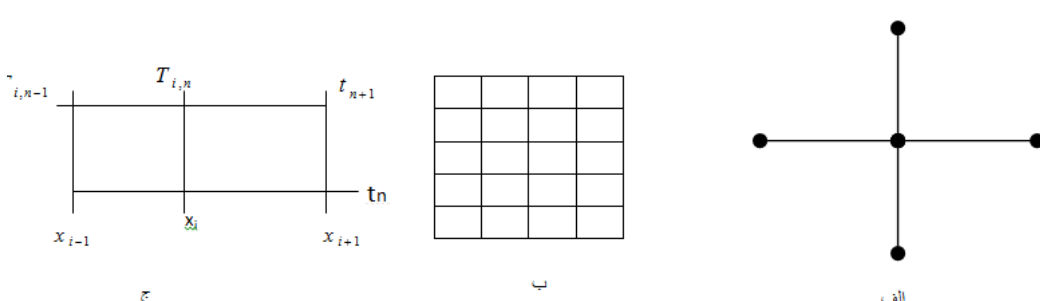
$$\nabla^2 u = \frac{\partial^2 u}{\partial x^2} + \frac{\partial^2 u}{\partial y^2} + \frac{\partial^2 u}{\partial z^2} = 0 \quad \text{رابطه (۱)}$$

$$\nabla^2 u = \frac{\partial^2 u}{\partial x^2} + \frac{\partial^2 u}{\partial y^2} + \frac{\partial^2 u}{\partial z^2} = g(x, y, z) \quad \text{رابطه (۲)}$$

روش‌های تفاضلی یا اختلاف محدود از جمله روشهای حل عددی رابطه‌های یاد شده می‌باشد که مشتقهای جزئی در این روش بر حسب اختلاف مقادیر نقاط شبکه تقریب‌زده می‌شوند. به عنوان مثال مشتق دوم یکتابع با استفاده از فرمول زیر تخمین زده می‌شود (رابطه ۳):

مقطع زمانی ۳۰ دقیقه در گره‌های مختلف محاسبه گردید.

روش تکرار گوس - سایدل برای حل سیستم‌های بزرگ خطی در انتهای به کار گرفته شده و درجه حرارت در دو جهت پهنا و ضخامت تخته در



**شکل ۲.۱(a)** صفحه ۵ نقطه‌ای که شرایط هر نقطه متاثر از نقاط مجاور می‌باشد **(b)** شبکه‌بندی ماتریسی نقاط و **(c)** شکل تقسیمات شبکه توضیح اینکه در شکل‌های بالا پس از ترسیم شبکه ماتریسی روی نمونه‌های چوبی راش و صنوبر هر گره یا هر نقطه از نقاط مجاور خود می‌تواند گرما دریافت یا ساطع نماید. در شکل ج هم گره‌های ایجاد شده روی نمونه‌های چوبی ذکر شده توسط روابط ریاضی فرمول بندی شده است. با کمک از این شکل‌ها می‌توان یک کمیت فیزیکی را در نقطه‌ای با مختصات ( $x_i, y_j$ ) و چهار نقطه اطراف آن در یک شبکه مدل‌سازی نمود).

$$\begin{pmatrix} 1-\frac{3}{2}\lambda & \lambda & & & \\ \lambda & 1-2\lambda & \lambda & & \\ & \lambda & 1-2\lambda & \lambda & \\ & & \lambda & 1-2\lambda & \lambda \\ -1 & & & \lambda & 1-\frac{3}{2}\lambda & \lambda \\ & -1 & & & \lambda & 1-2\lambda & \lambda \\ & & -1 & & & \lambda & 1-2\lambda & \lambda \\ & & & -1 & & & \lambda & 1-\frac{3}{2}\lambda & \lambda \\ & & & & -1 & & & \lambda & 1-2\lambda & \lambda \\ & & & & & -1 & & & \lambda & 1-\frac{3}{2}\lambda & \lambda \\ & & & & & & -1 & & & \lambda & 1-2\lambda & \lambda \\ & & & & & & & -1 & & & \lambda & 1-\frac{3}{2}\lambda & \lambda \\ & & & & & & & & -1 & & & \lambda & 1-2\lambda & \lambda \\ & & & & & & & & & -1 & & & \lambda & 1-\frac{3}{2}\lambda & \lambda \\ & & & & & & & & & & -1 & & & \lambda & 1-2\lambda & \lambda \\ & & & & & & & & & & & -1 & & & \lambda & 1-\frac{3}{2}\lambda & \lambda \\ & & & & & & & & & & & & -1 & & & \lambda & 1-2\lambda & \lambda \end{pmatrix} \times \begin{bmatrix} T_{11} \\ T_{12} \\ T_{13} \\ T_{14} \\ T_{21} \\ T_{22} \\ T_{23} \\ T_{24} \\ T_{31} \\ T_{32} \\ T_{33} \\ T_{34} \\ T_{41} \\ T_{42} \\ T_{43} \\ T_{44} \end{bmatrix} = \begin{bmatrix} T_{01} \\ T_{02} \\ T_{03} \\ T_{04} - \lambda T_{15} \\ 0 \\ 0 \\ 0 \\ -\lambda T_{25} \\ 0 \\ 0 \\ 0 \\ -\lambda T_{35} \\ 0 \\ 0 \\ 0 \\ -\lambda T_{45} \end{bmatrix}$$

**شکل ۳.۱** ماتریس  $16 \times 16$  حاصل شده از معادلات گوس سایدل ( $T_{15}, T_{25}, T_{35}, T_{45}$  در این ماتریس دمای شرایط محیطی می‌باشند).

## نتایج

قطعه‌های چوبی راش و صنوبر و به فاصله‌های ۵، ۱۰، ۱۵، ۲۰ میلی‌متر از منبع حرارتی در ۴ پروفیل مجزا در شکل‌های ۴ تا ۷ نشان داده شده است. نتایج نشان داد

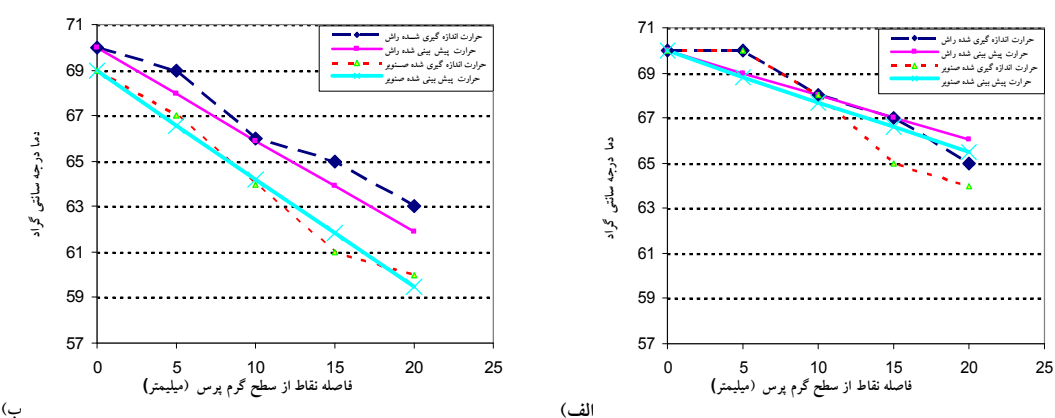
نتایج حاصل از پیش‌بینی مدل ریاضی و اندازه‌گیری مستقیم درجه حرارت در نیم‌رخ‌های قائم به فاصله‌های ۵، ۱۰، ۱۵ و ۲۰ میلی‌متر از مغز

نمودارها مشابه اما فاصله درجه حرارت پیش‌بینی و اندازه‌گیری شده در گره‌های دورتر از صفحه پرس بیشتر از نمودار قبلی است که می‌تواند نشانه‌ای از اثر حرارت محیط از لبه‌ها باشد.

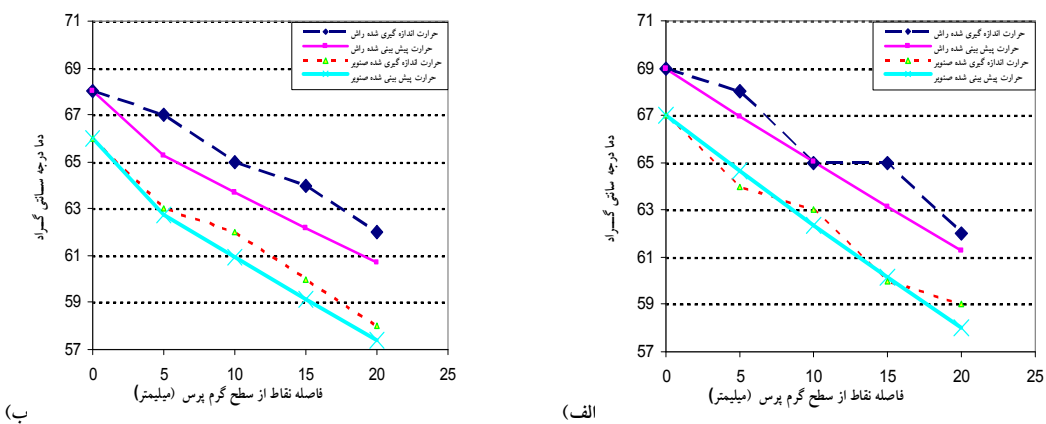
اثر لبه‌ها در شکل ۵ به خوبی نشان داده شده است به طوری که فاصله نقاط مرزی از هم بیشتر گردیده و در نیمرخ قائم به فاصله ۲۰ میلی‌متر از مغز قطعات چوبی و سطح داغ پرس دمای اندازه‌گیری شده و پیش‌بینی شده توسط مدل در دو گونه راش و صنوبر به ترتیب برابر با ۶۰ و ۶۰ درجه سانتی‌گراد و ۶۰/۷ و ۵۷/۴ درجه سانتی‌گراد بود (شکل ۵).

نمودارهای مربوط به پیش‌بینی مدل ریاضی و درجه حرارت‌های اندازه‌گیری شده در جهت پهنه‌ای (نیمرخ افقی) بلوك‌های چوبی در شکل های ۶ و ۷ نشان داده شده است. همانطور که ملاحظه می‌گردد بین پیش‌بینی‌ها و مقادیر اندازه‌گیری شده تفاوت وجود دارد که البته این تفاوت‌ها در فاصله بیشتر از منع حرارتی شدت بیشتری یافته است. به نظر می‌رسد این تفاوت‌ها مربوط به عایق بودن چوب در مقابل حرارت و تغایر در ضریب هدایت حرارتی دو گونه و نیز تأثیر دمای محیط و شرایط مرزی (لبه‌ها) و پرت حرارتی در لبه‌های قطعه چوبی باشد.

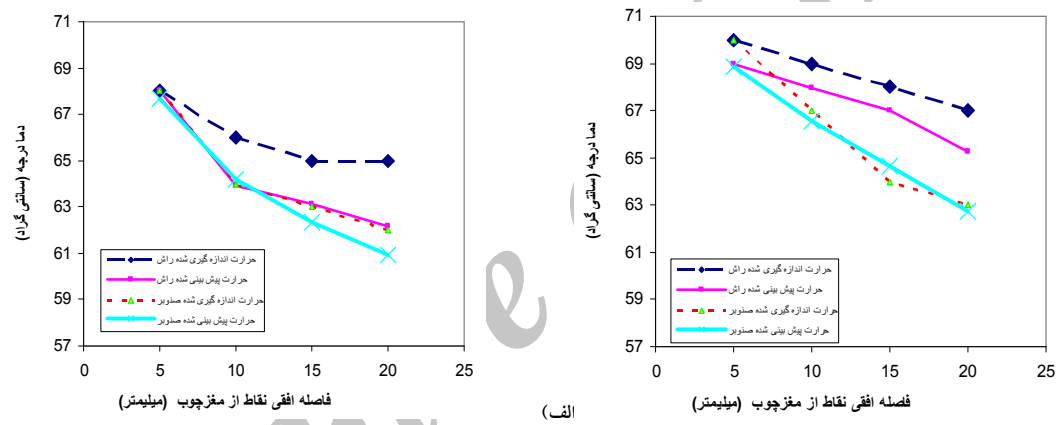
که انتقال حرارت در محدوده رطوبت ۱۲ درصد در دو گونه چوبی راش و صنوبر متفاوت است. البته هر دو چوب رفتار مشابهی از خود نشان دادند که مطابق با یک ماده هیگروسکوپیک و متخلخل است. نمودار پیش‌بینی مدل و ودار حاصل از اندازه‌گیری حرارت نشان داد که به طور منطقی با دور شدن از منبع حرارتی از میزان حرارت کاسته می‌شود (شکل ۴). به رغم این شباهت میزان کاهش در نمودار حاصل از اندازه‌گیری بیشتر است یه طوری که فاصله نمودار پیش‌بینی از نمودار اندازه‌گیری با دور شدن از منبع حرارتی بیشتر می‌گردد. در شکل ۵ الف اندازه‌گیری‌های مربوط به نیمرخ قائم به فاصله‌های ۵، ۱۰، ۱۵ و ۲۰ میلی‌متر از صفحات داغ پرس و به فاصله ۵ میلی‌متر از مغز قطعه چوبی نشان داده شده است. دمای اندازه‌گیری شده توسط ترموموکوپل در دو گونه راش و صنوبر به ترتیب برابر با ۷۰، ۶۷، ۶۸، ۶۹، ۶۵ و ۶۴ درجه سانتی‌گراد و ۶۵/۶، ۶۷/۰۳، ۶۸/۰۱، ۶۸/۹۹ درجه سانتی‌گراد و ۶۵/۵۱ درجه سانتی‌گراد حاصل شد. با توجه به این که فاصله عمودی گره‌ها از صفحه پرس مشابه نیمرخ قبلی بود،



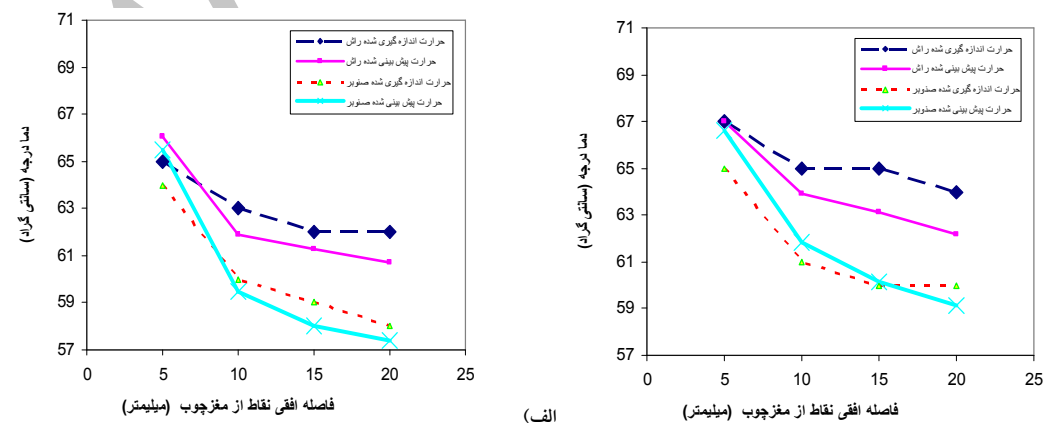
شکل ۴. مقایسه درجه حرارت پیش‌بینی شده و اندازه‌گیری شده راش و صنوبر در (الف) نیمرخ قائم (ضخامت) به فاصله ۵ میلی‌متر از مغز قطعات چوبی و (ب) در نیمرخ قائم (ضخامت) به فاصله ۱۰ میلی‌متر از مغز قطعات چوبی مورد آزمایش.



شکل ۵. مقایسه درجه حرارت پیش‌بینی شده و اندازه‌گیری شده راش و صنوبر در (الف) نیم‌رخ قائم (ضخامت) به فاصله ۱۵ میلی‌متر از مغز قطعات چوبی و (ب) در نیم‌رخ قائم (ضخامت) به فاصله ۲۰ میلی‌متر از مغز قطعات چوبی مورد آزمایش.



شکل ۶. مقایسه درجه حرارت پیش‌بینی شده و اندازه‌گیری شده راش و صنوبر در (الف) نیم‌رخ افقی (پهنای چوب) به فاصله ۵ میلی‌متر از صفحات گرم و (ب) نیم‌رخ افقی (پهنای چوب) به فاصله ۱۰ میلی‌متر از صفحات گرم.



شکل ۷. مقایسه درجه حرارت پیش‌بینی شده و اندازه‌گیری شده راش و صنوبر در (الف) نیم‌رخ افقی (پهنای چوب) به فاصله ۱۵ میلی‌متر از صفحات گرم و (ب) نیم‌رخ افقی (پهنای چوب) به فاصله ۲۰ میلی‌متر از صفحات گرم.

ویژه بیشتر این چوب در مقایسه با چوب صنوبر باشد که همین مسئله باعث بروز ضریب هدایت حرارتی بیشتر در چوب راش شد.

نتایج مطالعات طارمیان و سپهر (۱۳۸۹) بر توسعه شبیب دما در چوب راش و نوئل با نتایج این تحقیق مطابقت دارد به طوری که نتایج تحقیقات ایشان نشان داد الگوی انتشار حرارت در دامنه آب آغشتگی تحت تاثیر ویژگی‌های چوب و ضخامت دیواره سلولی چوب و دانسیته چوب قرار دارد و روند انتقال حرارت با تغییر در مقدار این فاکتورها در چوب نیز تغییر می‌یابد به طوری که در گونه نوئل با دانسیته سبک میانگین دمای مغز تخته پس از ۳۰ دقیقه حرارت‌دهی برابر  $5^{\circ}\text{C}$  درجه سانتی‌گراد و در گونه راش با دانسیته نیمه سنگین برابر  $54^{\circ}\text{C}$  درجه سانتی‌گراد بود.

نوربخش و کارگرفت (۱۳۸۵) با بررسی اثر دانسیته بر انتقال حرارت و خواص مکانیکی تخته خردۀ چوب حاصله نشان دادند که با افزایش دانسیته خردۀ چوب از  $3/0$  تا  $5/0$  گرم بر سانتی‌مترمکعب، افزایش انتقال حرارت و چسبندگی داخلی را حاصل می‌گردد. افزایش بیشتر دانسیته تخته خردۀ چوب سبب آغشتگی بیشتر سطوح ذرات خردۀ چوب و چسب و ایجاد اتصالات قوی تر و کاهش واکنشگی را بدباند داشته شده است.

نتیجه این تحقیق نشان می‌دهد که مدل ریاضی معرفی شده از توانایی مطلوبی برای پیش‌بینی درجه حرارت در قطعات چوبی با دانسیته‌های متفاوت در جریان انتقال حرارت دو بعدی را دارا است هرچند مدل برای افزایش دقت هنوز به اصلاحاتی نیاز دارد. اثر ضخامت یا فاصله از منبع گرمای توسط مدل شناسایی شد و با افزایش فاصله از منبع حرارت کاهش درجه حرارت در گره‌های مختلف در پیش‌بینی‌های مدل کاملاً مشهود بود اگر چه با افزایش

منحنی‌های شبیب دما در ضخامت و پهنای تخته‌های صنوبر و راش طی انتقال حرارت نشان داد که الگوی توسعه شبیب دما در همه تخته‌ها مشابه بود، به طوری که دما در هر دو نوع چوب با دانسیته‌های متفاوت با شروع فرآیند حرارت‌دهی در سطح تخته‌ها حداقل و در مغز تخته‌ها حداقل بود. با مقایسه اشکال ۴ تا ۷ نتایج مشخص شد که شبیب دما در جهت پهنای تخته بیشتر از ضخامت آن بود که علت این امر فاصله بیشتر از منبع حرارتی و اثر پرت حرارتی در لبه‌های قطعه چوبی بود. با توجه به بالاتر بودن دانسیته گونه چوبی راش نسبت به صنوبر نتایج حاکی از این امر بود که انتشار حرارت از سطح به مغز تخته با سرعت بیشتری انجام گرفته است. انتشار سریع تر حرارت در چوب و فرآورده‌های چوبی موجب کاهش شبیب دما بین سطح و مغز تخته می‌گردد.

### بحث و نتیجه‌گیری

بررسی اثر دانسیته بر انتقال حرارت در این مطالعه نشان داد که تفاوت محسوسی از لحاظ انتقال حرارت بین چوب راش با دانسیته نیمه سنگین و چوب صنوبر با دانسیته سبک وجود دارد که این موضوع در پیش‌بینی مدل و اندازه‌گیری مستقیم حرارت مشهود بود، به شکلی که سرعت انتقال حرارت در چوب راش در مقایسه با چوب صنوبر بیشتر بود. علت این امر را می‌توان در سرعت انتقال آهسته حرارت چوب صنوبر دانست که ناشی از جرم ویژه کمتر و در حقیقت هدایت حرارتی کمتر در این گونه است (Siau, 1984). ضخامت دیواره سلولی یکی از عوامل اثرگذار بر روی انتقال حرارت در چوب است. نتایج این مطالعه نشان داد که انتقال حرارت در چوب راش از صفحات گرم پرس یا منبع حرارتی به مغز چوب در مقایسه با صنوبر بهتر صورت می‌گیرد که این امر می‌تواند ناشی از جرم

- Wood Science and Technology, 19(2): 159-177.
- Gu, H. and Hunt, J. (2004) Two dimensional Finite element heat and mass transfer Model for softwood. Proceedings of the 7th Pacific Rim bio composite symposium. China. Oct: 344-354.
- Kehr, E., and Scholzel, S. (1996) The investigation of pressing conditions in the manufacturing of particle board. USDC Trans. FPL Report, 687 p.
- Pang, S. and Gu, L. (2006) Opportunity and challenge in wood drying: quality control and energy saving. Science and Technology, 8(1): 57-58.
- Siau, J.F. (1984) Transport processes in wood. Springer, Berlin, Heidelberg. New York, 245 p.

فاصله از دقت مدل کاسته شد. اثر حرارت محیطی بر انتقال حرارت به وسیله مدل توضیح داده شد به طوری که گرههای نزدیک به لبه‌های قطعه چوبی از حرارت کمتری برخوردار می‌شدند که علت آن تلفات حرارتی از لبه‌ها در اثر تماس با هوای سرد محیط بود. همان طور که نتایج این مطالعه نشان می‌دهد مدل‌های ریاضی می‌توانند ابزار بسیار مفیدی برای پیش‌بینی انتقال حرارت باشند البته در طراحی این مدل‌ها باید شرایط فیزیکی چوب کاملاً لحاظ گردد تا دقت مدل افزایش یابد. مدلی که در این تحقیق طراحی گردید فقط برای چوب‌های ماسیو گونه‌های راش و صنوبر با رطوبت استاندارد ۱۲ درصد و دانسیته‌های  $0.67\text{ g/cm}^3$  بر سانتی‌مترمکعب و  $0.43\text{ g/cm}^3$  بر سانتی‌مترمکعب ضرایب هدايت حرارتی به ترتیب برابر با  $0.094 \times 10^{-4}$  و  $0.094 \times 10^{-4}$  کاربرد دارد در غیر این صورت مدل باید برای شرایط جدید اصلاح گردد.

#### منابع

- ابراهیمی، ق. و فائزی‌پور، م. (۱۳۷۵) چوب خشک کنی در کوره. انتشارات دانشگاه تهران. ۶۰۰ صفحه.
- امام، م. (۱۳۷۶) بررسی انتقال حرارت در گردن چوب. پایان نامه کارشناسی ارشد صنایع چوب و کاغذ. دانشگاه علوم کشاورزی و منابع طبیعی گرگان. ۱۶۵ صفحه.
- طارمیان، ا. و سپهر، ا. (۱۳۸۹) بررسی انتشار حرارت و توسعه گرادیان دما در چوب در طی خشک شدن: مطالعه موردی راش و نوئل. دوفصلنامه علمی و پژوهشی تحقیقات چوب و کاغذ ایران، ۲۵(۲): ۲۲۴-۲۴۷.
- نوریخشن، ا. و کارگرفتار، ا. (۱۳۸۵) اثر دانسیته و زمان پرس بر ویژگیهای تخته خرد چوب عایقی از گونه صنوبر. مجله علمی و پژوهشی تحقیقات چوب و کاغذ ایران، ۱۱۵(۲): ۱۱۵-۱۲۲.
- Bazant, Z.P. (1985) Constitutive equation of wood at variable humidity and temperature.

## Two dimensional heat transfers in wood using mathematic model; a case study: Beech (*Fagus orientalis*) and Poplar wood (*Populus deltoides*)

Amir Houman Hemmasi<sup>1</sup>, Mehdi Malekani<sup>1\*</sup> and Taghi Tabarsa<sup>2</sup>

1) Department of Wood and Paper Science and Technology, College of Agriculture and Natural Resources, Science and Research Branch, Islamic Azad University, Tehran, Iran. \*Corresponding Author Email Address: mehdi\_malakani@yahoo.com

2) Department of Wood and Paper Science and Technology, College of Natural Resources, Gorgan University of Agricultural Sciences and Natural Resources, Gorgan, Iran.

### Abstract

In this study, two dimensional mathematic models were developed for predicting wood temperature at different depth and density of wood during heating process. Fractional differential equations were applied for development of the model. For evaluating effect of wood density on heat transfer, Beech wood (*Fagus orientalis*) and poplar wood (*Populus deltoides*) with densities of 0. 67 g cm<sup>-3</sup> and 0. 43 g cm<sup>-3</sup> and moisture content of 12% was applied. Holes of 5 mm diameter were made on the board specific distances to measure the temperature using thermocouple. Good agreement was found between model predictions and experimental data. Heat loss from edges of wood block under effect of environmental conditions was identified by model. However, model has to be modified for increasing its accuracy. It had high ability for temperature prediction at different depth of wood during heating by increase of model accuracy, it can be used for wood drying and heat treatment applications.

**Keywords:** mathematical model; differential equation; Heat transfer; beech wood; poplar wood.